

リングネットワークにおける パケット伝送特性

* 照屋健 ** 白鳥則郎 ** 野口正一
* 琉球大学 ** 東北大學

スロットを用いたリングネットワークについての解析を行い、パケット伝送特性について、2つの場合について結果を得る。前半はステーションのバッファサイズが無限大の場合と、後半はそのサイズが有限の場合とに分けて解析する。バッファサイズが無限大の場合の特性として、フルロードの条件のもとで、5種類の宛先分配率を導入し、宛先分配率が対称形の場合の対称形リングでは過渡情報伝送率、宛先分配率が非対称形のリングでは定常情報伝送率を得る。後半では、有限バッファのもとで、パケット到着をポアソン分布と仮定し、パケット存在の定常確率を得て、平均パケット伝送遅延やパケット棄却率を求める。パケット伝送遅延とパケット棄却率の間のトレードオフについても言及する。

PACKET TRANSMISSION CHARACTERISTICS IN A SLOTTED RING NETWORK

* Ken Teruya * Norio Shiratori * Shoichi Noguchi
* Ryukyu University ** Tohoku University
* 1, Senbaru, Nishihara, Nakagami, Okinawa 903-01, Japan

Analysis of a slotted ring network is carried out and packet transmission characteristics of the slotted ring network are derived in two cases: one case when the buffer size of the station is unlimited and the other case when the buffer size is finite. As to the case of infinite buffer, we discuss the information transmission rate in both cases symmetric and asymmetric ring under full load condition. Secondaly, analysis of the case of finite buffer size is carried out on the assumption of Poisson arrival of packets. we show the steady state probability distribution of the number of packets which stay in the buffer of a station. We discuss the trade-off between transmisson delay and packet rejection probabilities.

$$P_{ci} = \begin{pmatrix} m_{11}^{(i)} & m_{12}^{(i)} & \cdots & m_{1,N-1}^{(i)} \\ m_{21}^{(i)} & m_{22}^{(i)} & \cdots & m_{2,N-1}^{(i)} \\ \vdots & \vdots & \ddots & \vdots \\ m_{N-1,1}^{(i)} & m_{N-1,2}^{(i)} & \cdots & m_{N-1,N-1}^{(i)} \end{pmatrix} \quad (21)$$

$$Y^{(i)} = Y^{(i)} \cdot P_{ci} \quad (22)$$

$$T^{(i)} = \frac{N1^{(i)}}{D1^{(i)}} \quad (i=1,2,\dots,N) \quad (23)$$

$N=3$ の場合について考えると、次式を得る。

$$T_e^{(i)} = \frac{1 - m_{22}^{(i)}}{1 + m_{12}^{(i)} - m_{22}^{(i)}} \quad (i=1,2,3) \quad (24)$$

3.6 数値例

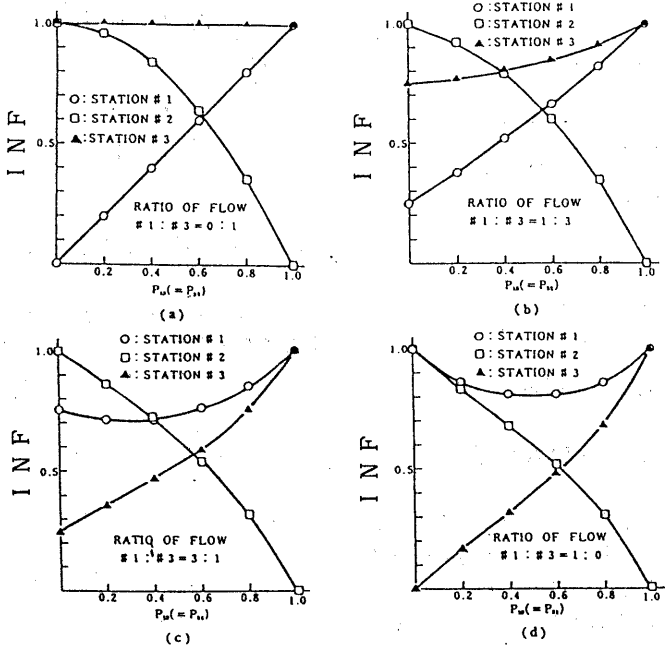


図5. $N=3$ の場合の非対称形リングの定常情報伝送率

図5はステーションが3個の非対称形の場合の各ステーションの情報伝送率の推移を示す。同図は、 $d_{13}=d_{31}$ とし、ステーション2の宛先分配率をパラメータとして、 d_{13} が0.0~1.0の変化をした場合の3個の各ステーションの情報伝

送率の変化を示している。

同図は特定の2個のステーション間の通信が密になってくると、第3番目のステーションの情報伝送率は、そのステーションの通信の比率に関係なく圧迫され、遂には通信不能な状態にまで追い込まれることを示している。

